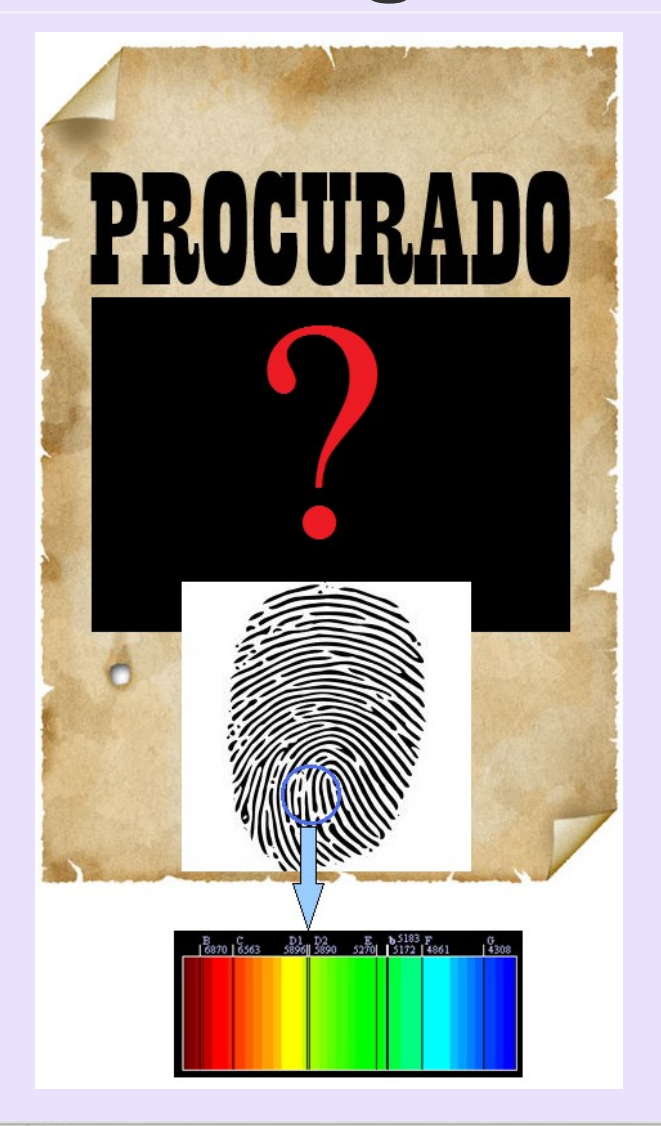
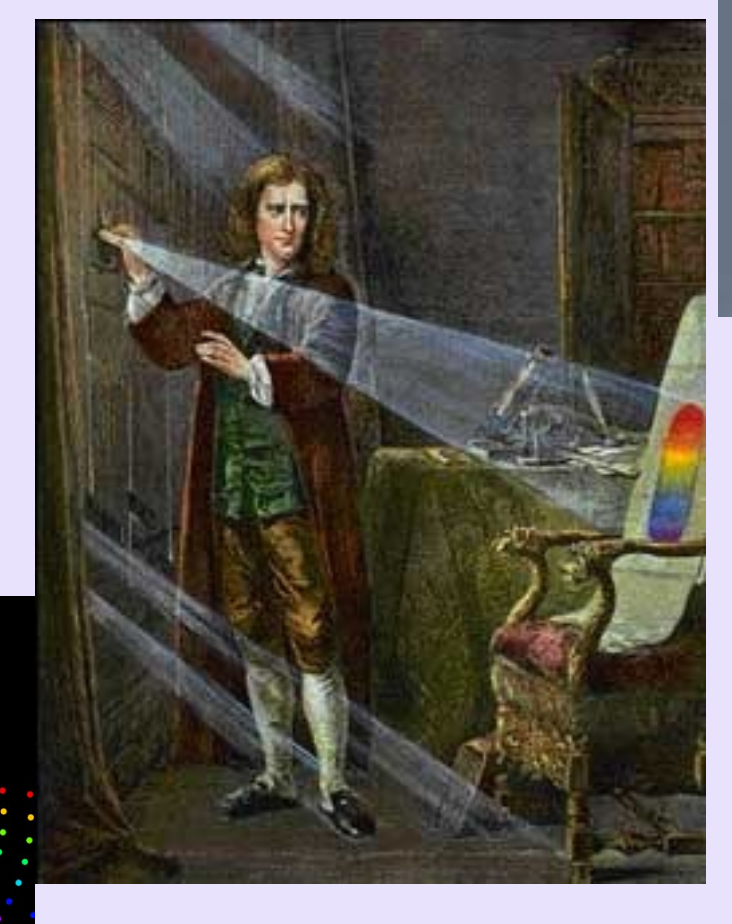
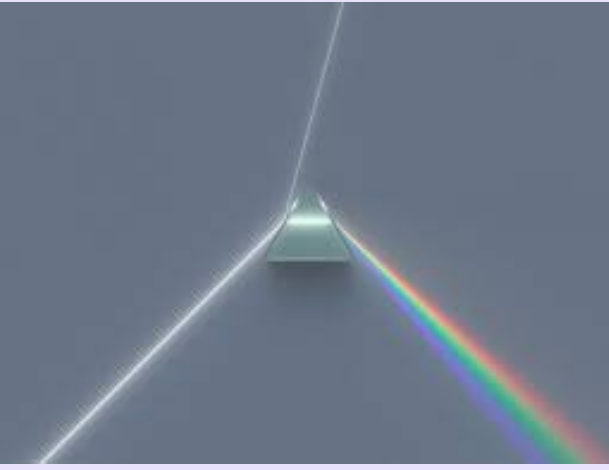
A "Impressão Digital" do Átomo





Newton e a Dispersão da Luz





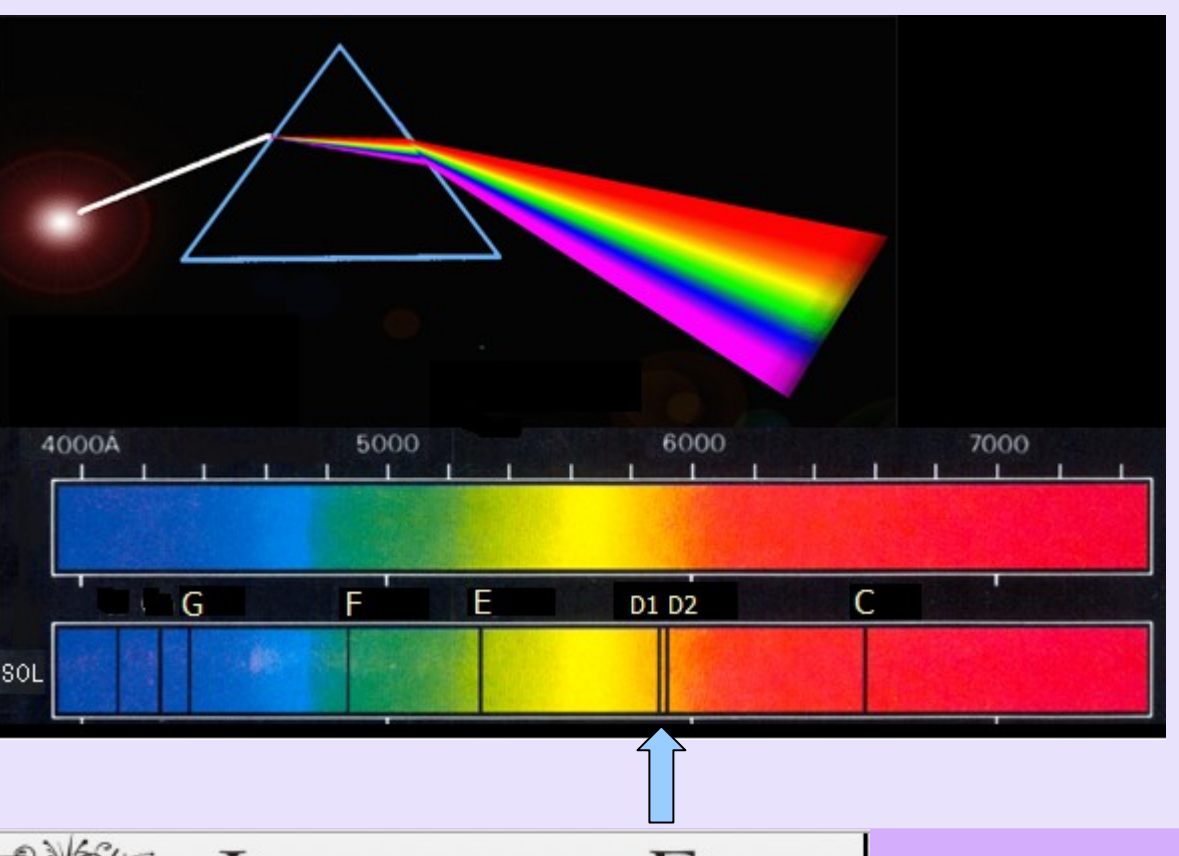


Espectro Solar e as Linhas de Fraunhofer



- D1 = 5890 Å
- D2 = 5896 Å

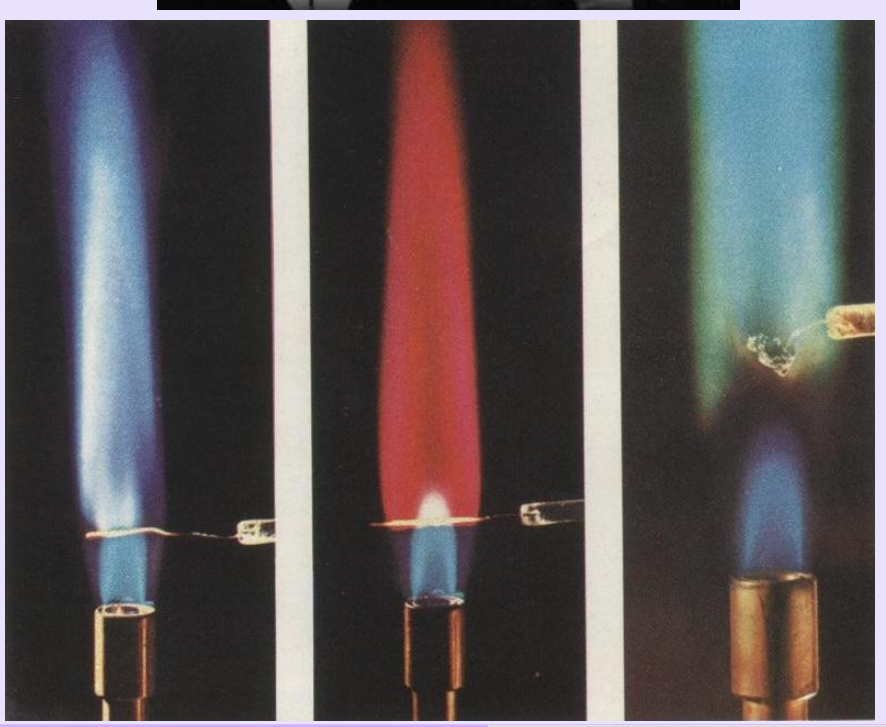
Espectro: Vênus = Sol Sirius ≠ Sol

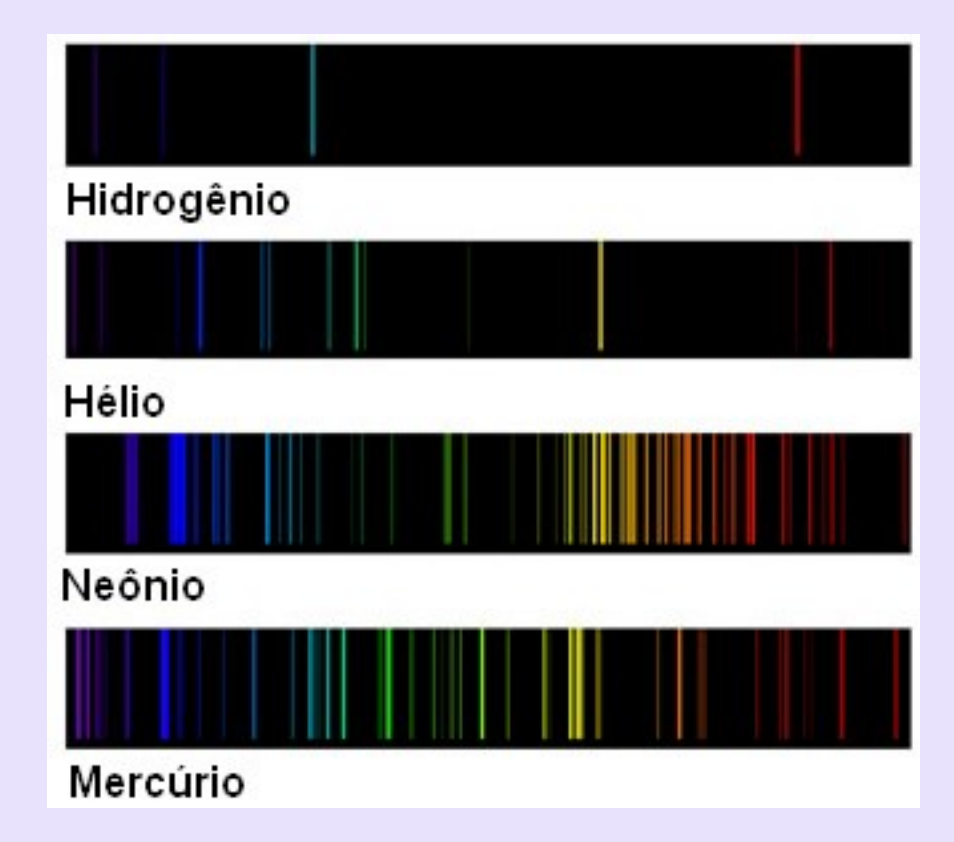




Análise Espectral: Kirchhoff e Bunsen

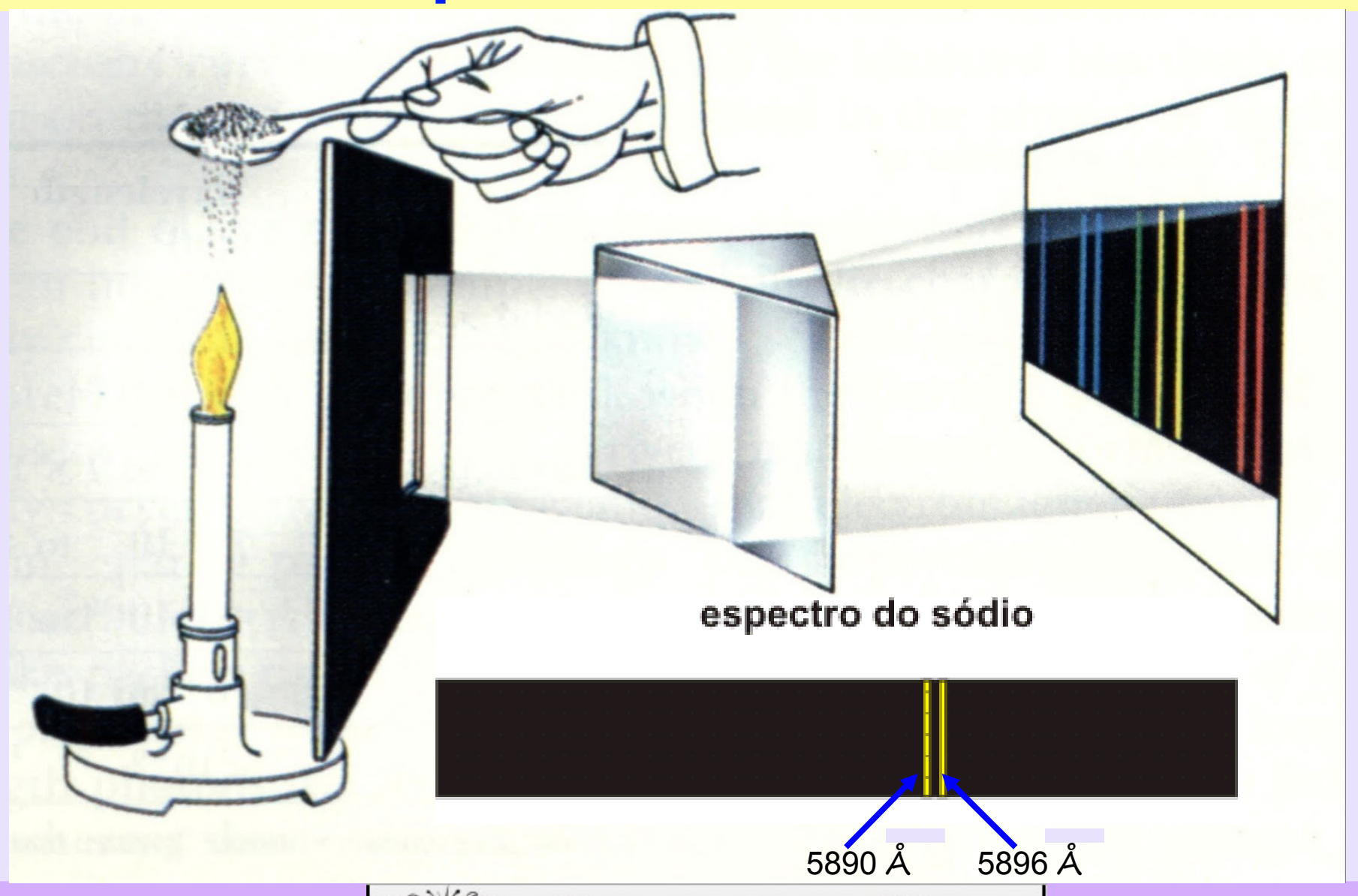






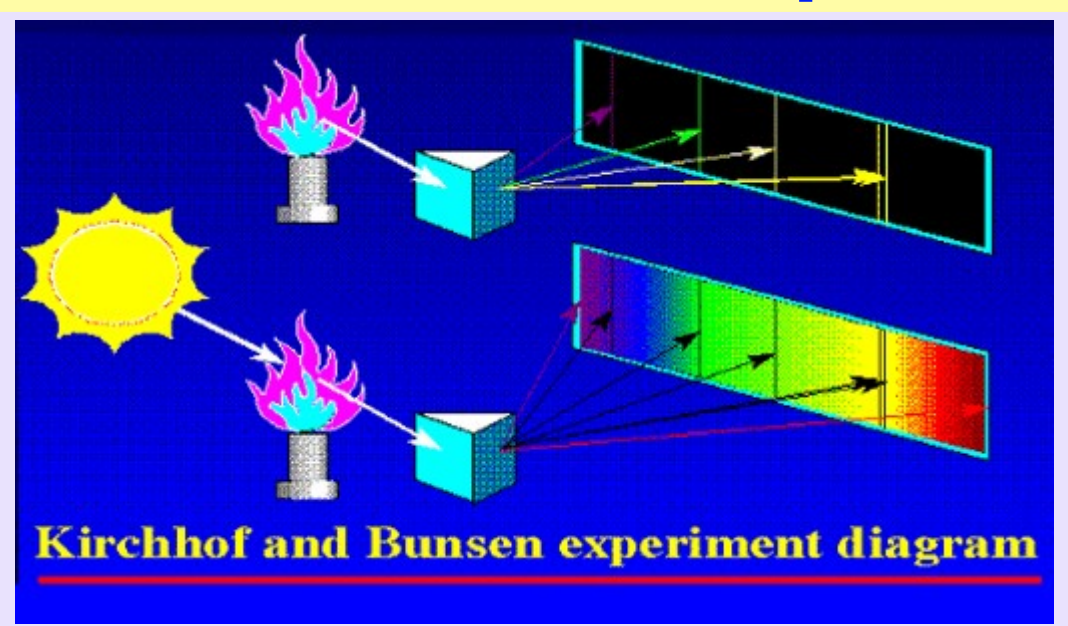


Análise Espectral: Dubleto de Sódio





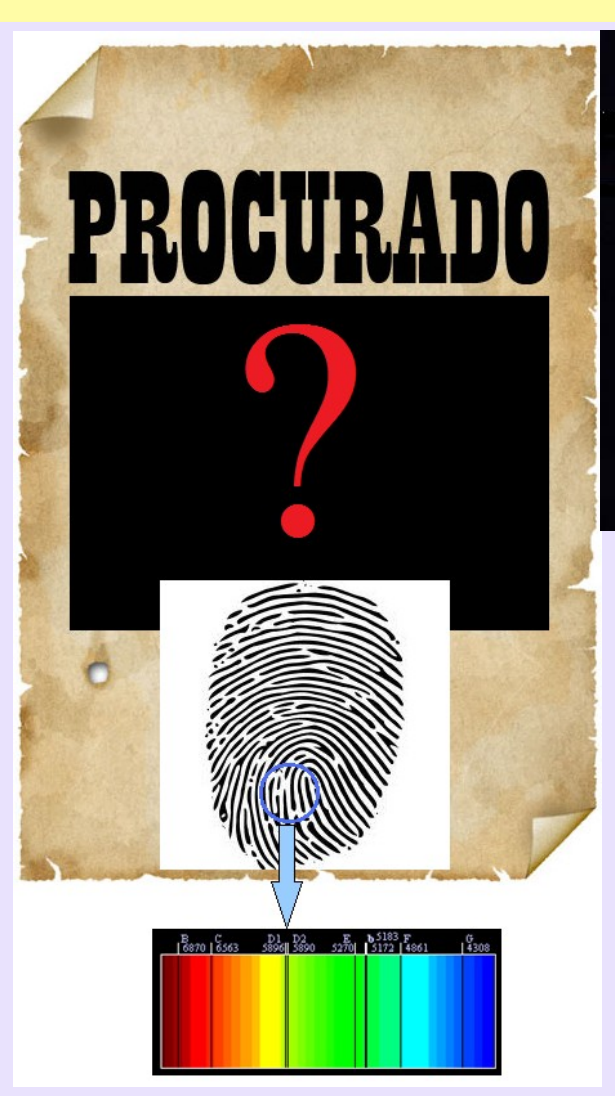
Análise Espectral: Absorção

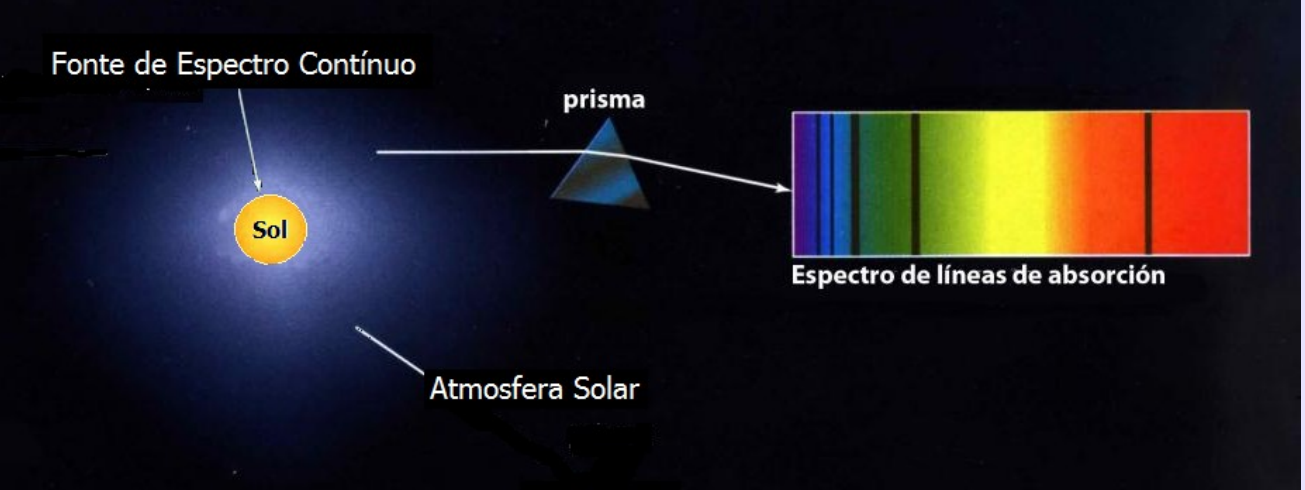


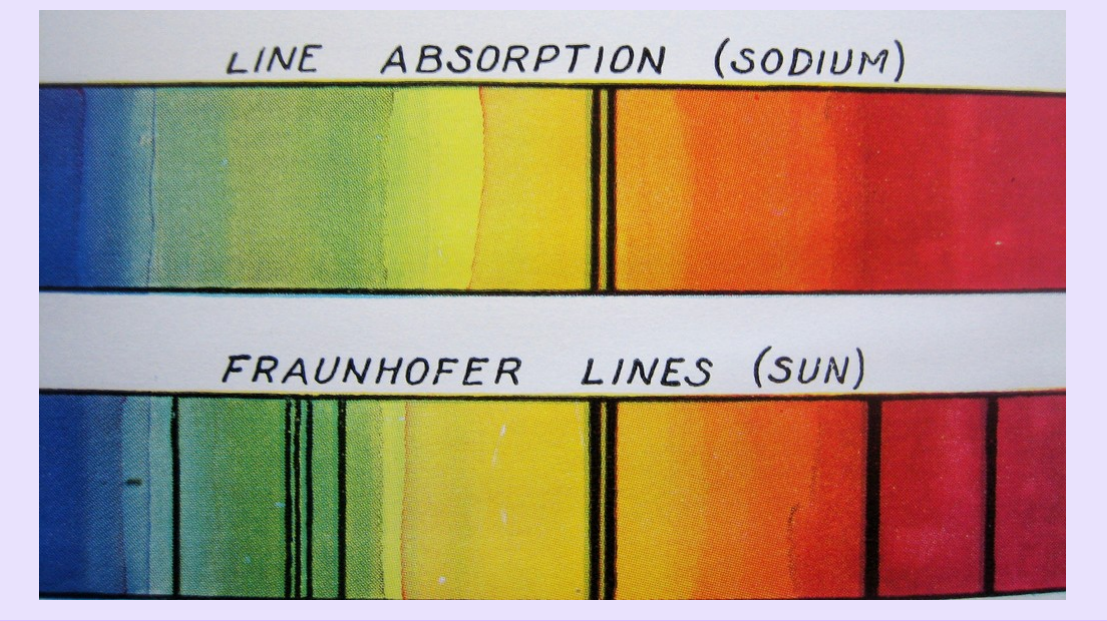




Encontrado

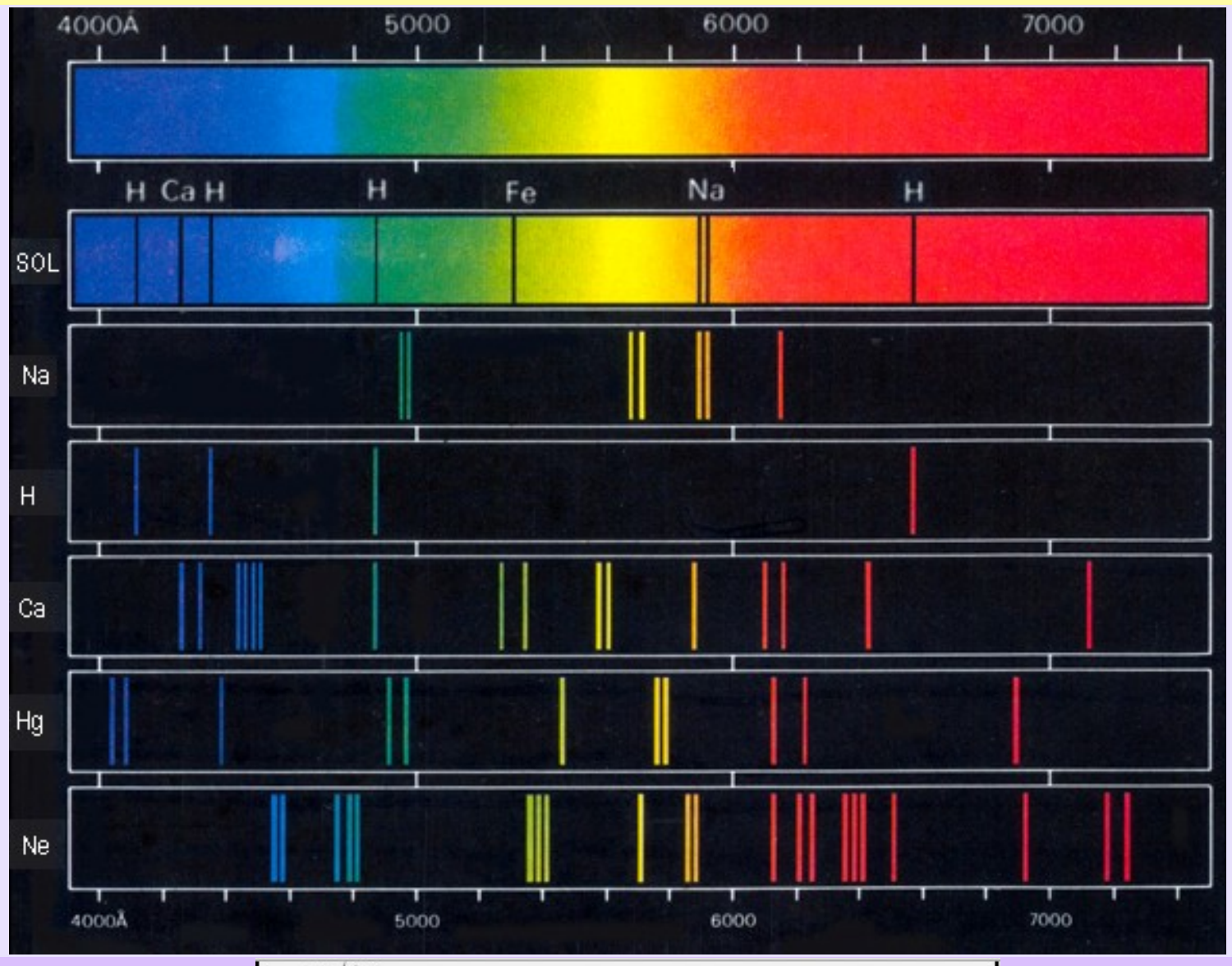








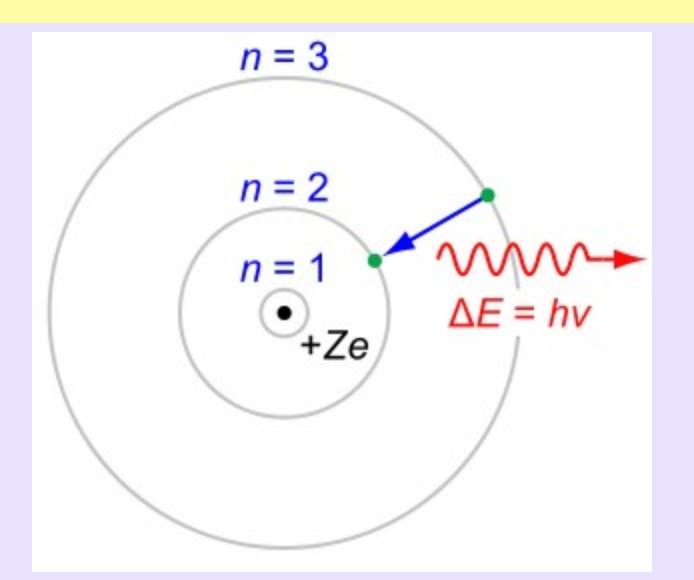
O nascimento da Astrofísica

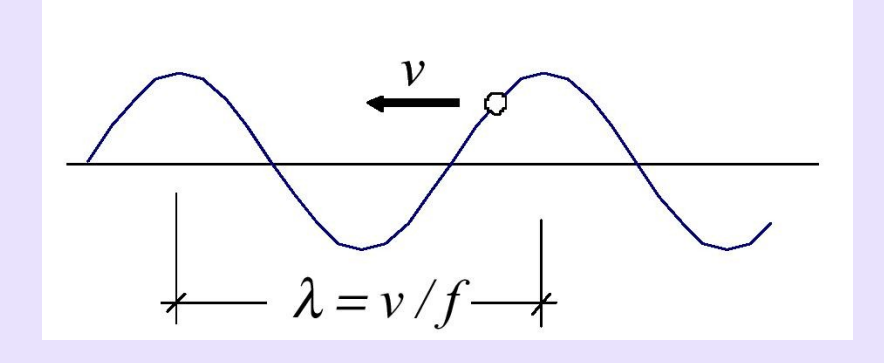




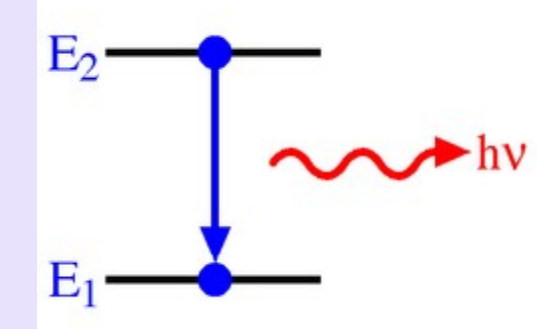
Modelo Atômico de Bohr

- 1913
- quantização
- freqüência proporcional à diferença de energia



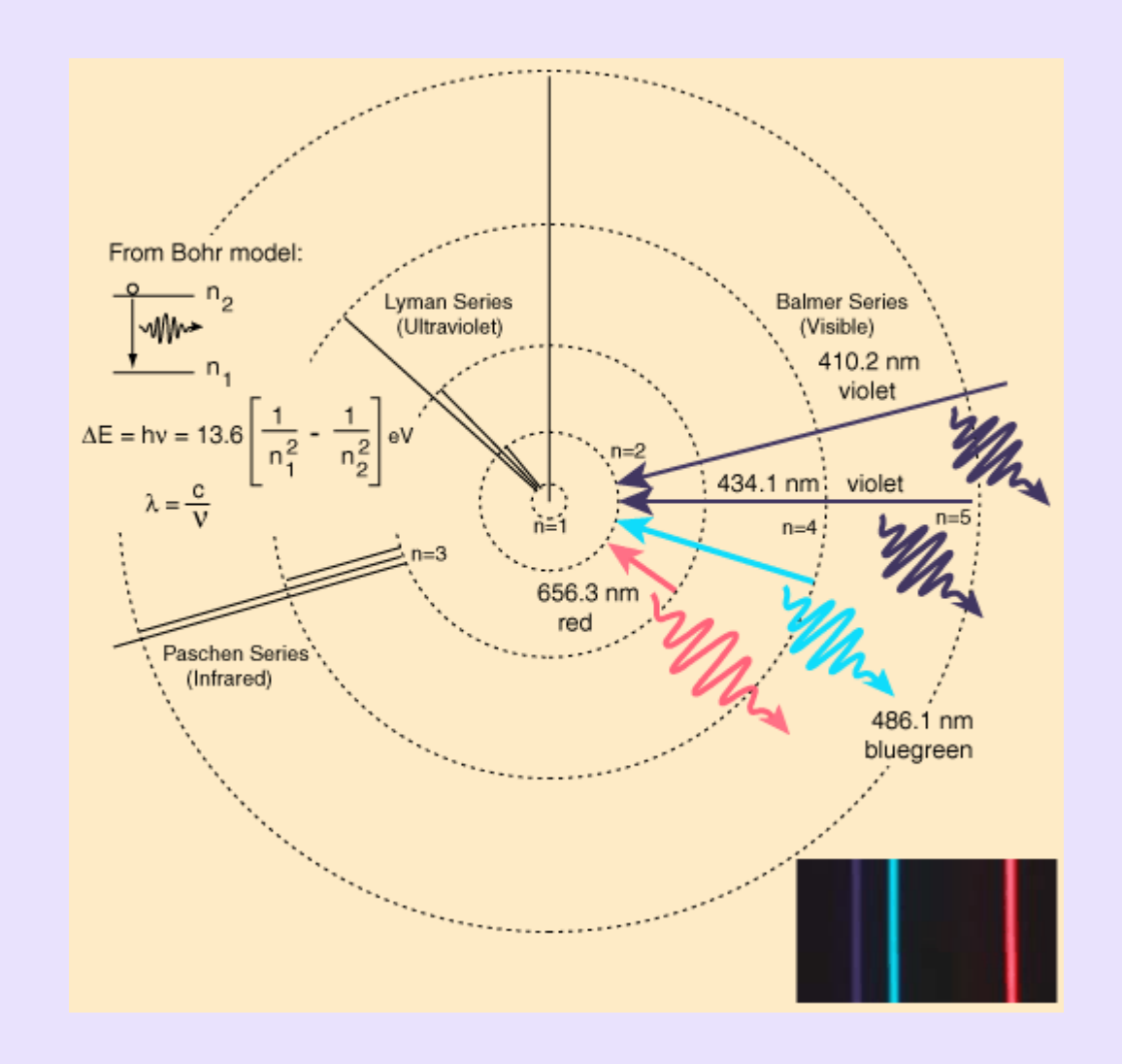


$$\Delta E = E_2 - E_1 = hv = \frac{hc}{\lambda}$$





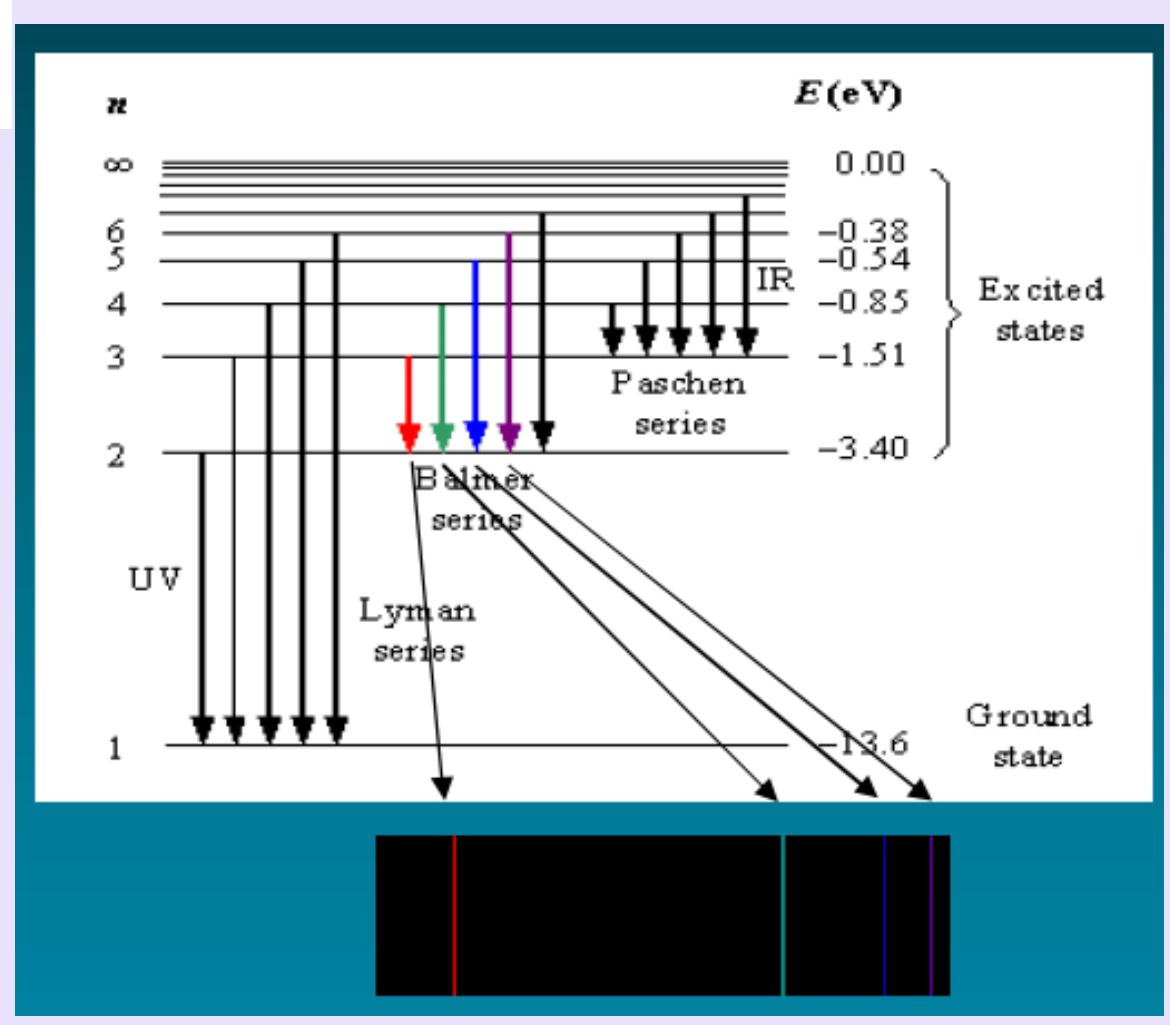
A Interpretação do Espectro Atômico





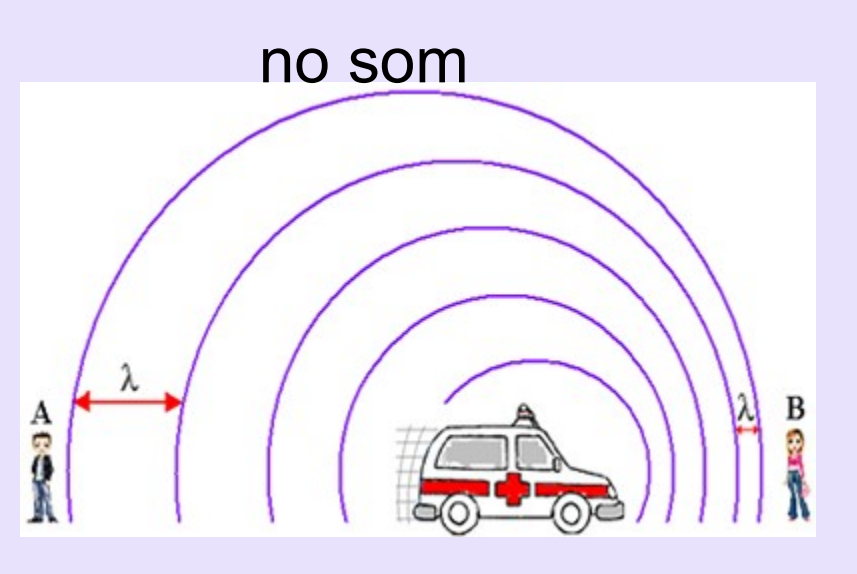
A Interpretação do Espectro Atômico

$$\frac{1}{\lambda} = R_{\rm H} \left(\frac{1}{n_{\rm f}^2} - \frac{1}{n_{\rm i}^2} \right)$$



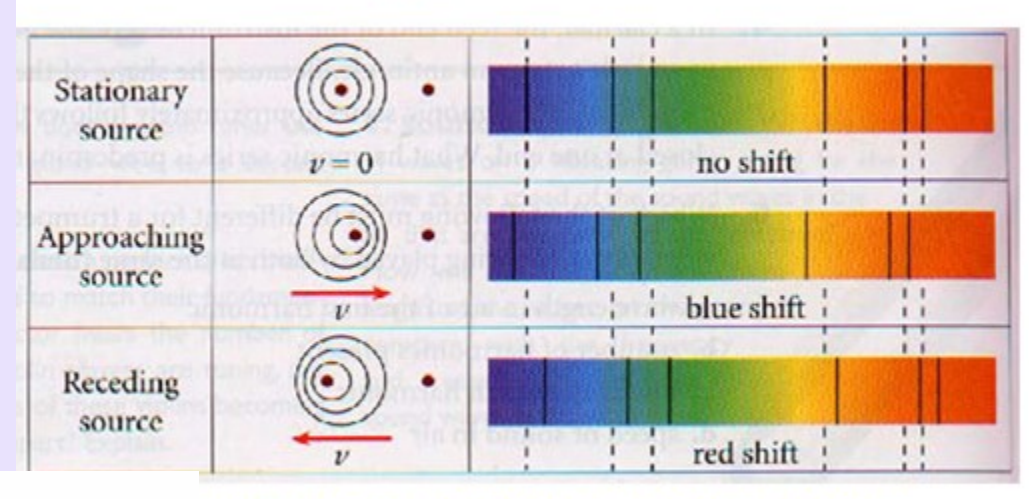


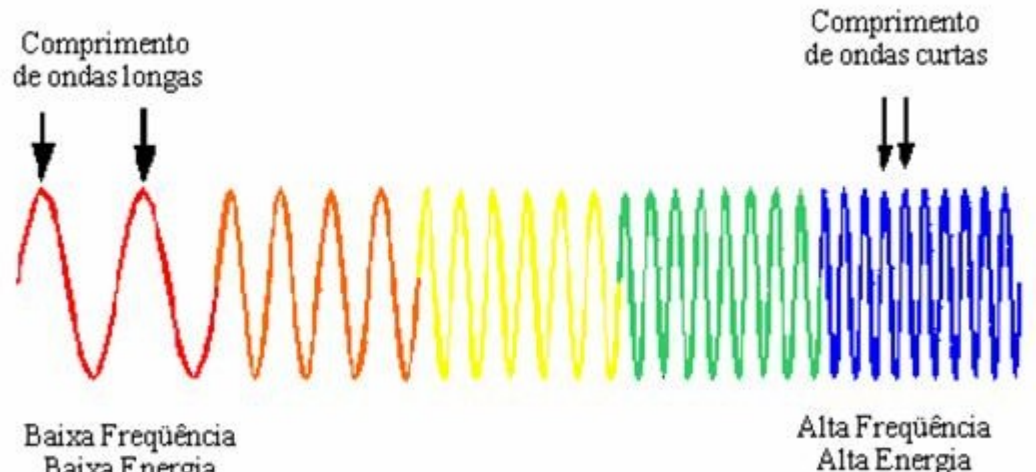
O Efeito Doppler e o Rotação do Sol



Baixa Energia

Doppler Effect





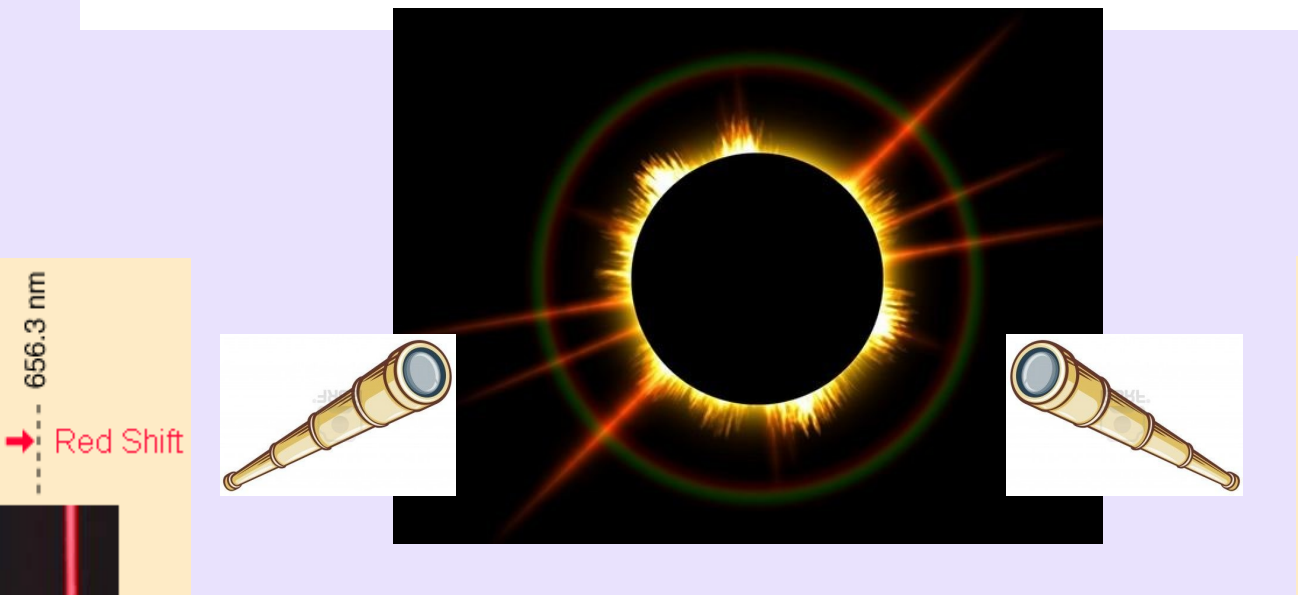
isuring the relative velocities of stars by the Doppler shift.



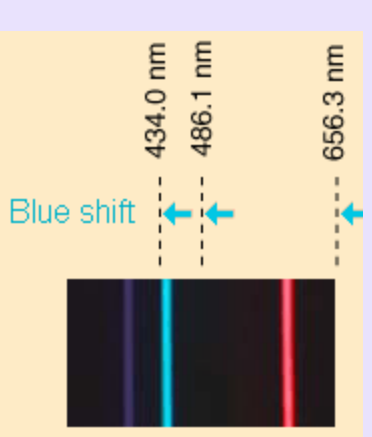
O Efeito Doppler e o Rotação do Sol

$$\frac{\Delta \lambda}{\lambda_0} = \frac{v}{c}$$

 $\Delta \lambda =$ desvio no comprimento de onda $\lambda_0 =$ comprimento de onda da fonte parada v = velocidade relativa da fonte c = velocidade da luz



434.0 nm



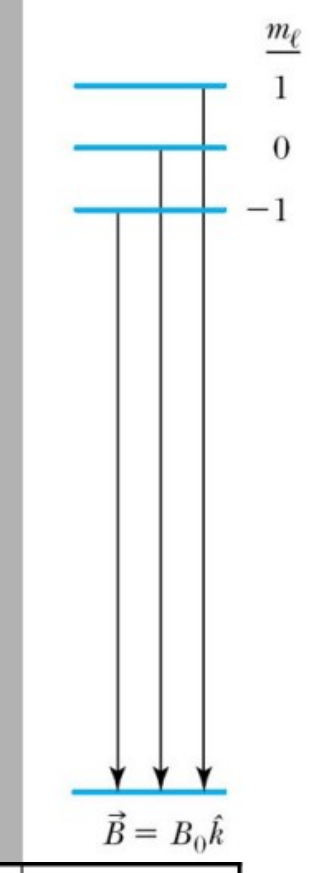


O Efeito Zeeman e o Campo Magnético das Estrelas

O Efeito Zeeman

A transição de 2*p* para 1*s*, separada pelo campo magnético.

A separação entre as linhas é proporcional à intensidade do campo. Isto permite verificar a presença de campo magnético e determinar sua intensidade.

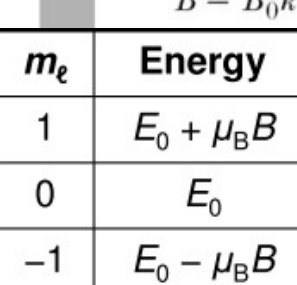






Sem campo magnético





	$\ell = 1$	$\frac{n}{2}$
$n=2$ $\ell=1$]
	$\updownarrow \Delta E = \mu_{\rm B} B$	-1
$\vec{B} = 0$	$\vec{B} = B_0 \hat{k}$	

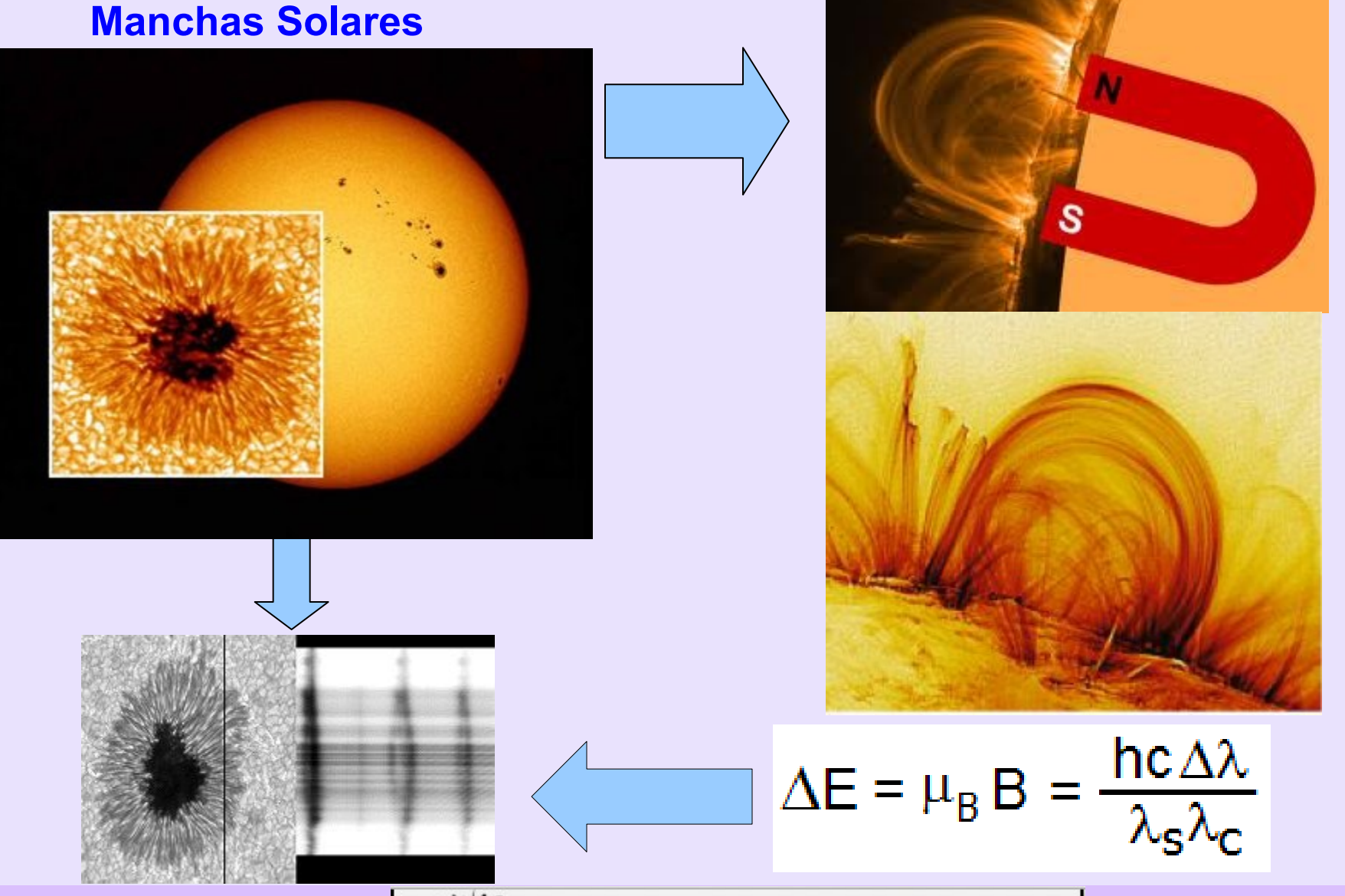


 $2p = \ell = 1$

Energy

INSTITUTO DE FÍSICA
Universidade Federal Fluminense

O Efeito Zeeman e o Campo Magnético das Estrelas





A Técnica "LIBS"

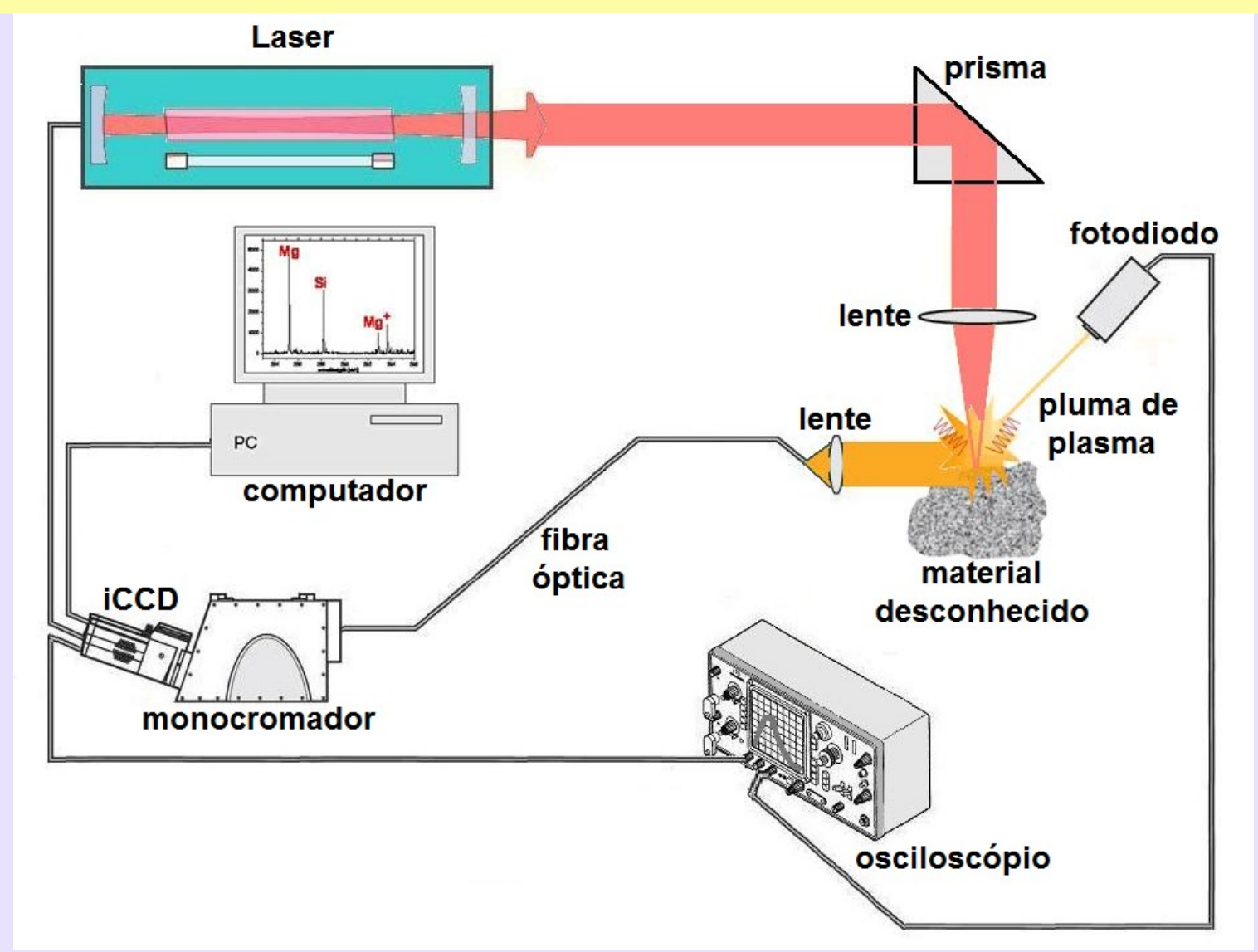
Laser Induced Breakdown Spectroscopy

Fábio de Oliveira Borges

Laboratório de Plasma e Espectroscopia Atômica Instituto de Física, Universidade Federal Fluminense



EXPERIMENTO





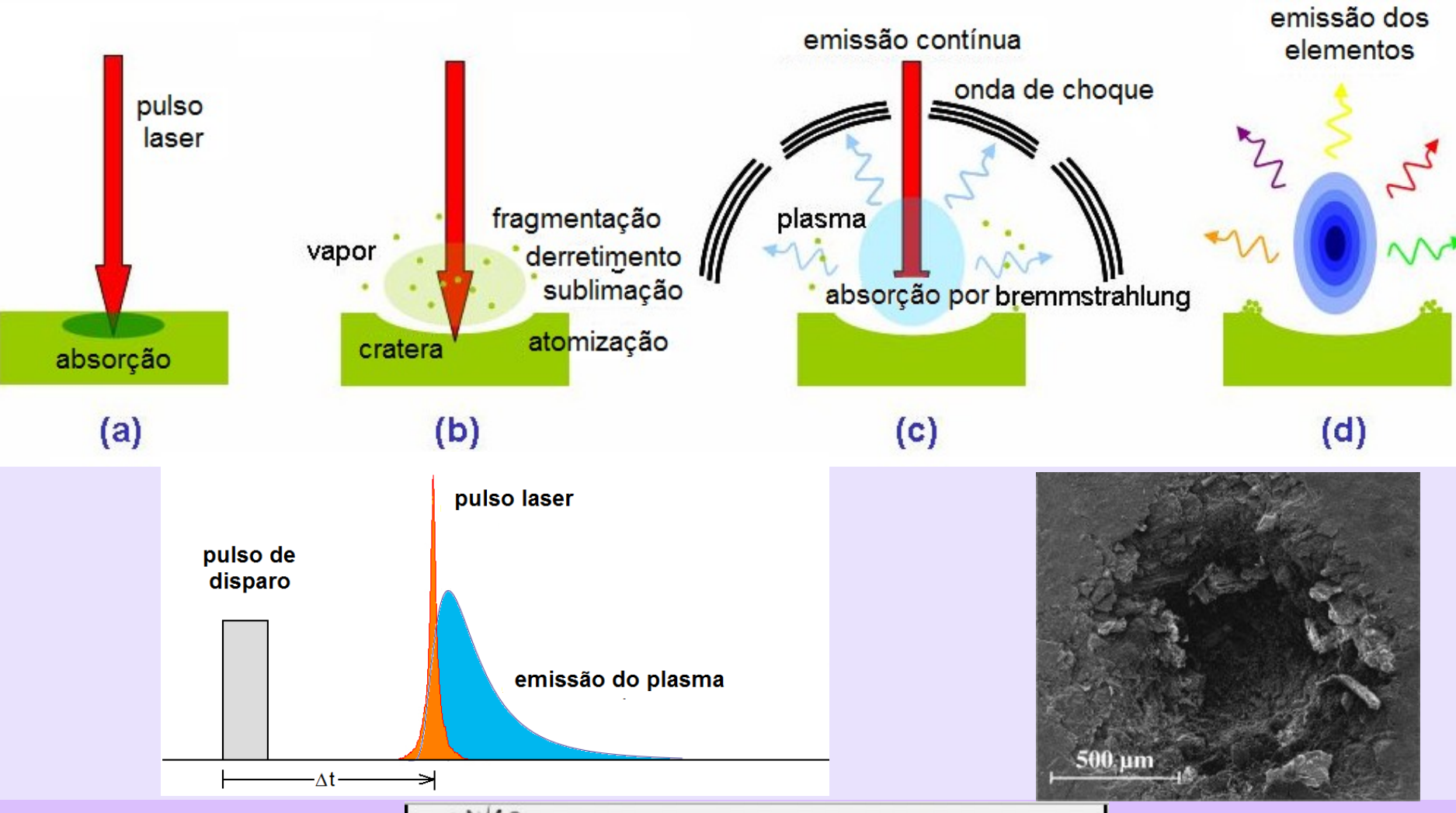
HIPÓTESES

- A composição do volume do plasma sob exame deve representar a composição da amostra (Ablação Estequiométrica)
- O volume do plasma em observação tem que estar em Equilíbrio Termodinâmico Local
- As linhas espectrais observadas tem que ser opticamente finas (plasma transparente a radiação observada)



ABLAÇÃO ESTEQUIOMÉTRICA

Pulsos de nanosegundos ⇒ 10º W/cm²





EQUILÍBRIO TERMODINÂMICO LOCAL

Leis de equilíbrio em um plasma

- Energia Cinética (velocidades de e-, íons, átomos neutros)

distribuição de Maxwell

- Energia Interna (população dos níveis de energia)

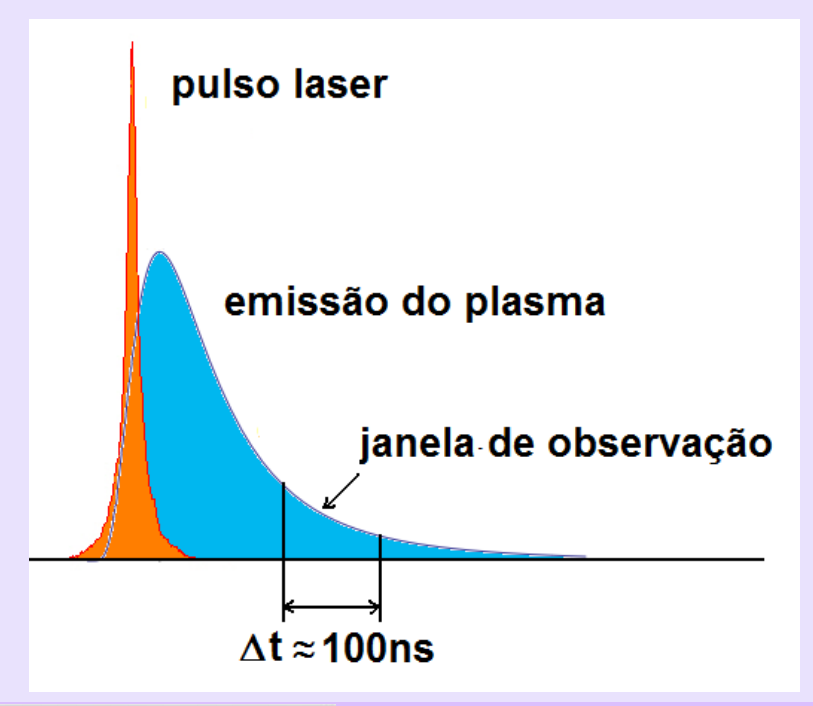
distribuição de Boltzmann

- Químico (A+B ← AB)

equação de Saha (ionização)

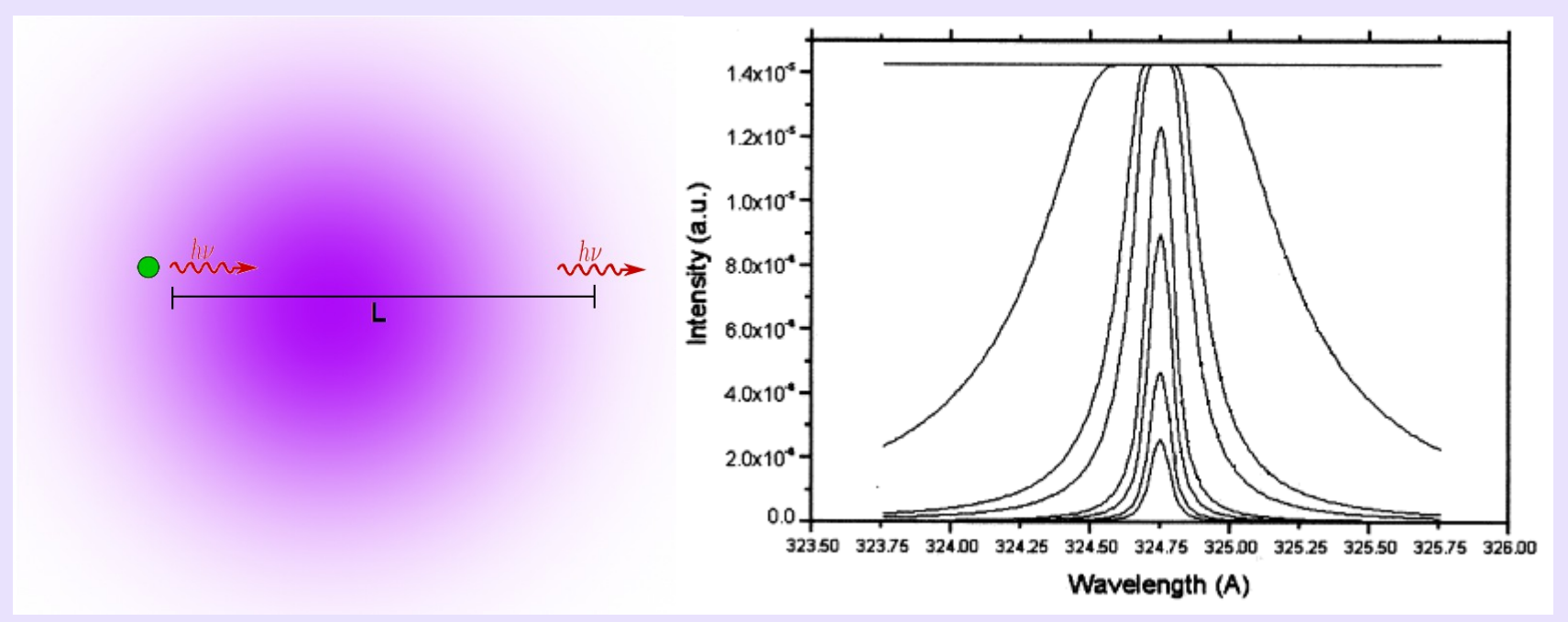
- Radiação (corpo negro)

eguação de Planck





AUTO-ABSORÇÃO



Bulajic D et al, Spectrochimica Acta Part B 57 (2002) 339

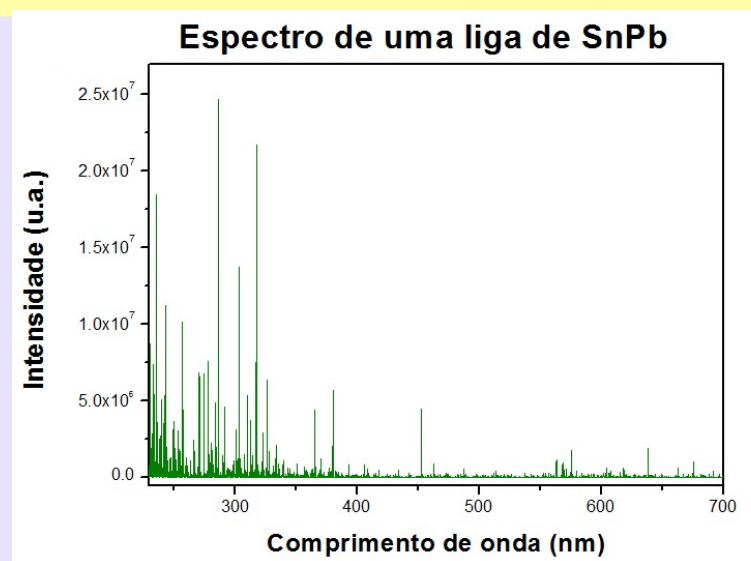
$$I(v,l) = \frac{8\pi hc}{\lambda_{ij}^{3}} \frac{n_{i}}{n_{j}} \frac{g_{i}}{g_{j}} \frac{(1 - e^{-\kappa(v)l})}{(1 - g_{i}n_{i}/g_{j}n_{j})}$$

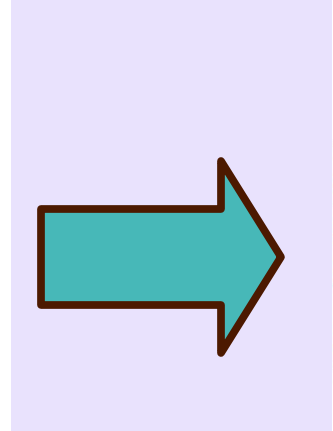
$$\kappa(v)l <<1 \qquad l(v,l) = hv_{ij} A_{ij} n_{i}g(v)l \frac{d\Omega}{4\pi}$$

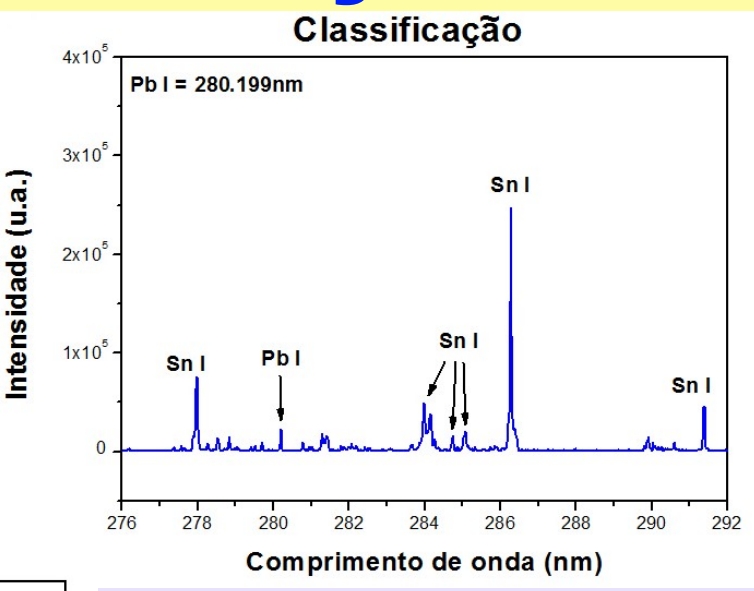
$$\kappa(v)l >>1 \qquad l(v,l) = \frac{8\pi hv}{c^{2}} \frac{1}{e^{hv/k_{B}T} - 1}$$

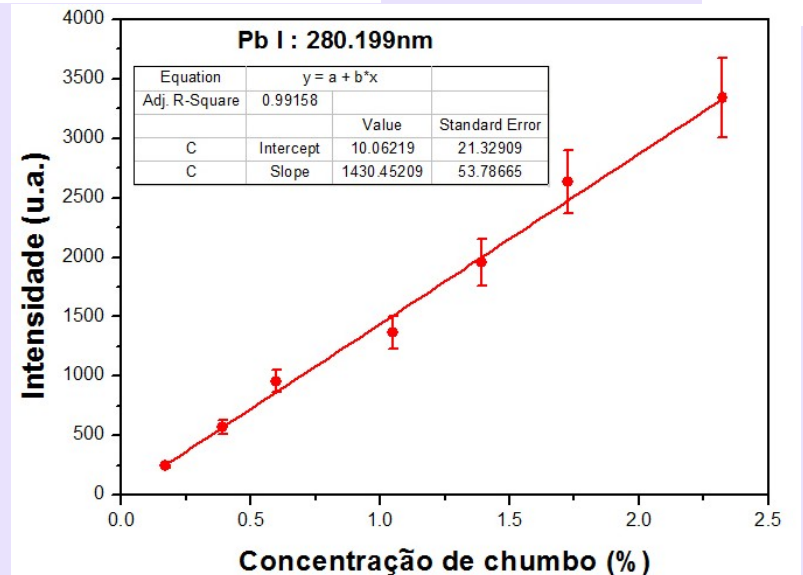


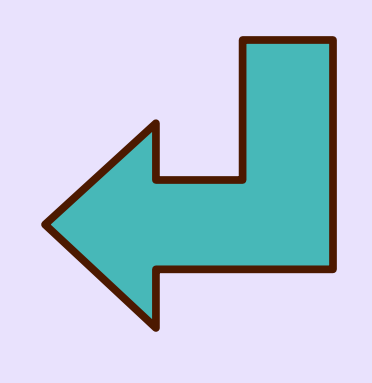
CURVA DE CALIBRAÇÃO





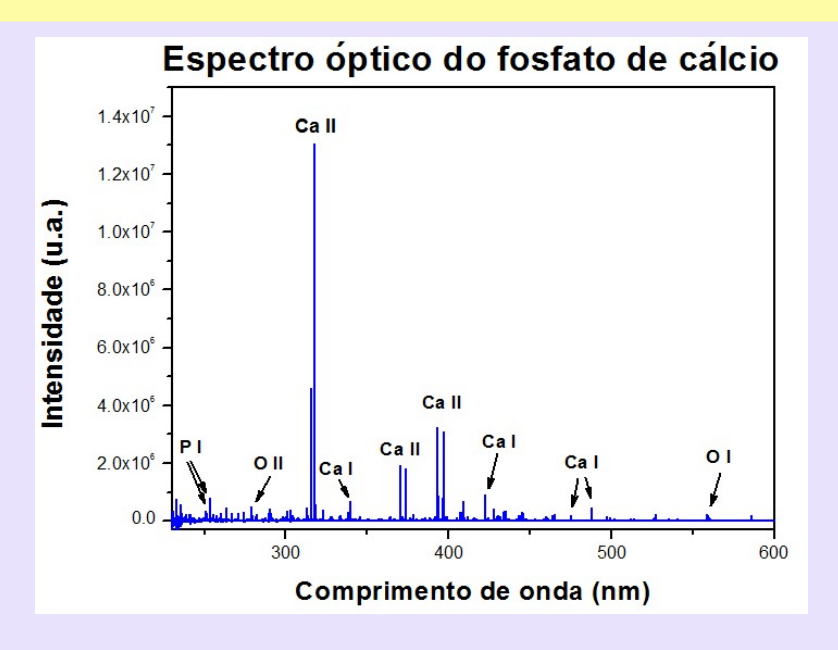








CF-LIBS

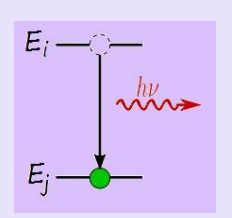


$$C_s = \frac{Q_s(T)}{F} e^{b_s}$$

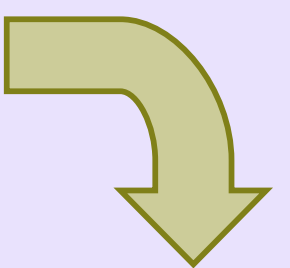
$$C_s = \frac{Q_s(T)}{F} e^{b_s}$$

$$\sum C_s = \frac{1}{F} \sum Q_s(T) e^{b_s} = 100$$

$$C_{M}^{T} = C_{M}^{(1)} + C_{M}^{(11)}$$

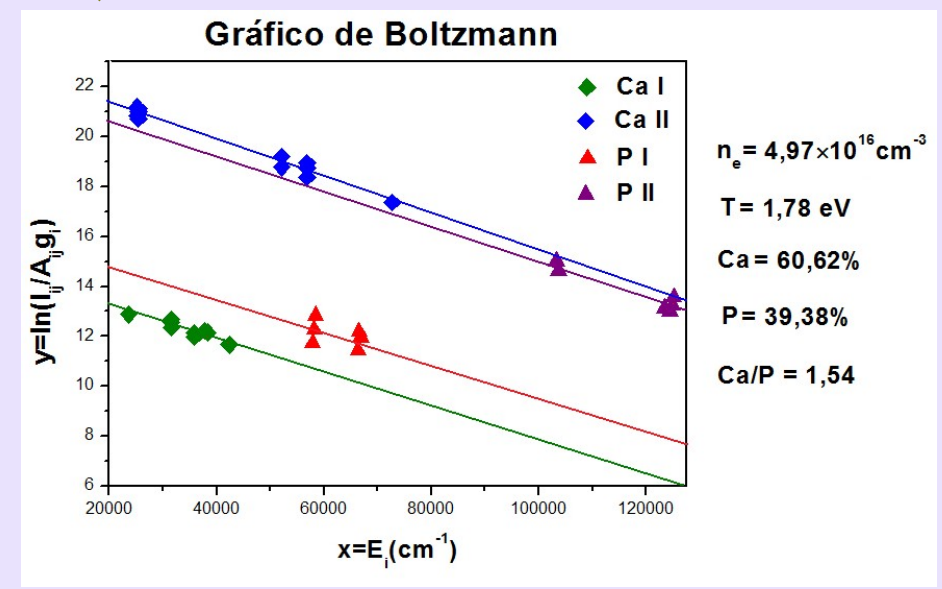


$$I_{ij} = FC_s A_{ij} g_i \frac{e^{(E_i/K_BT)}}{Q_s(T)}$$



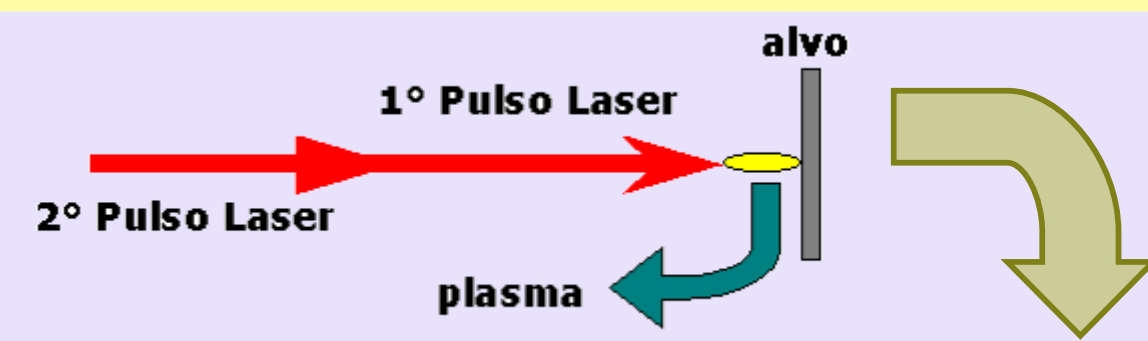
$$y=ax+b$$

$$\ln \frac{l_{ij}}{g_i A_{ij}} = -\frac{1}{K_B T} E_i + \ln \frac{C_S F}{Q_S (T)}$$

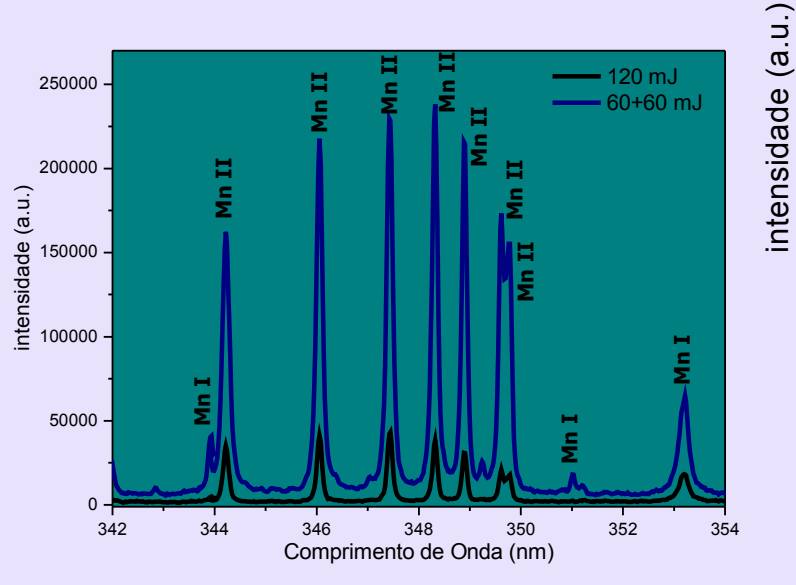


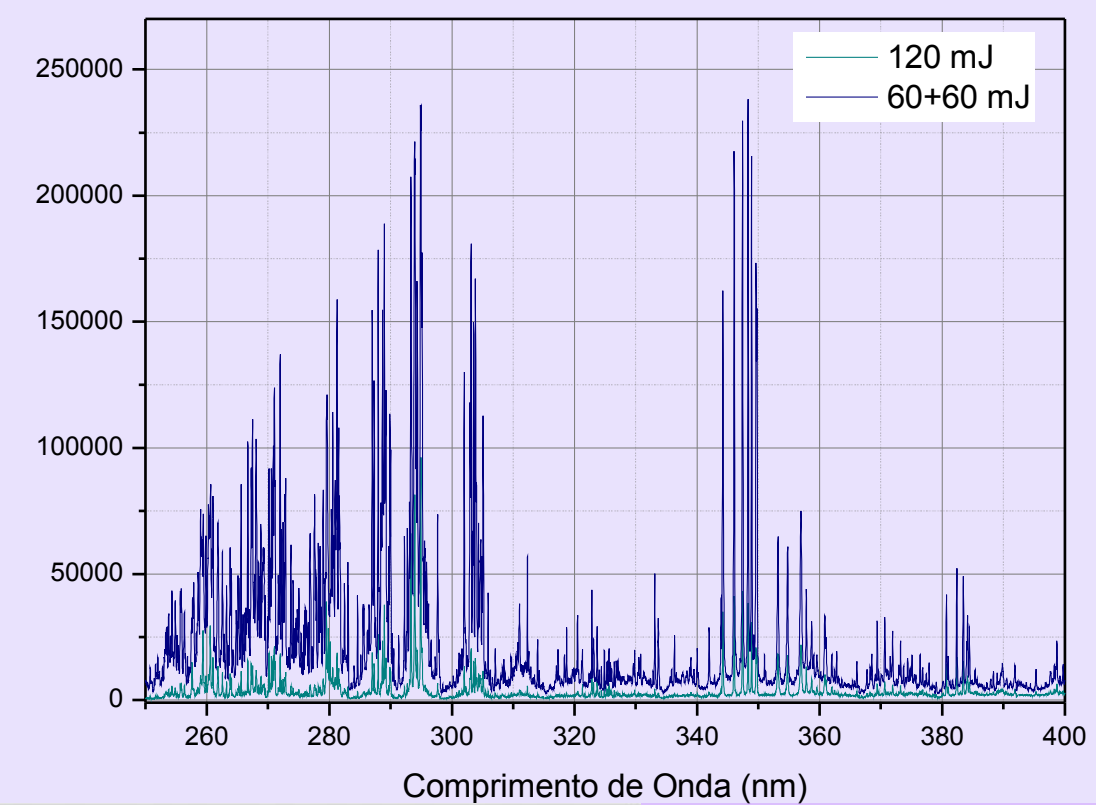


DP-LIBS



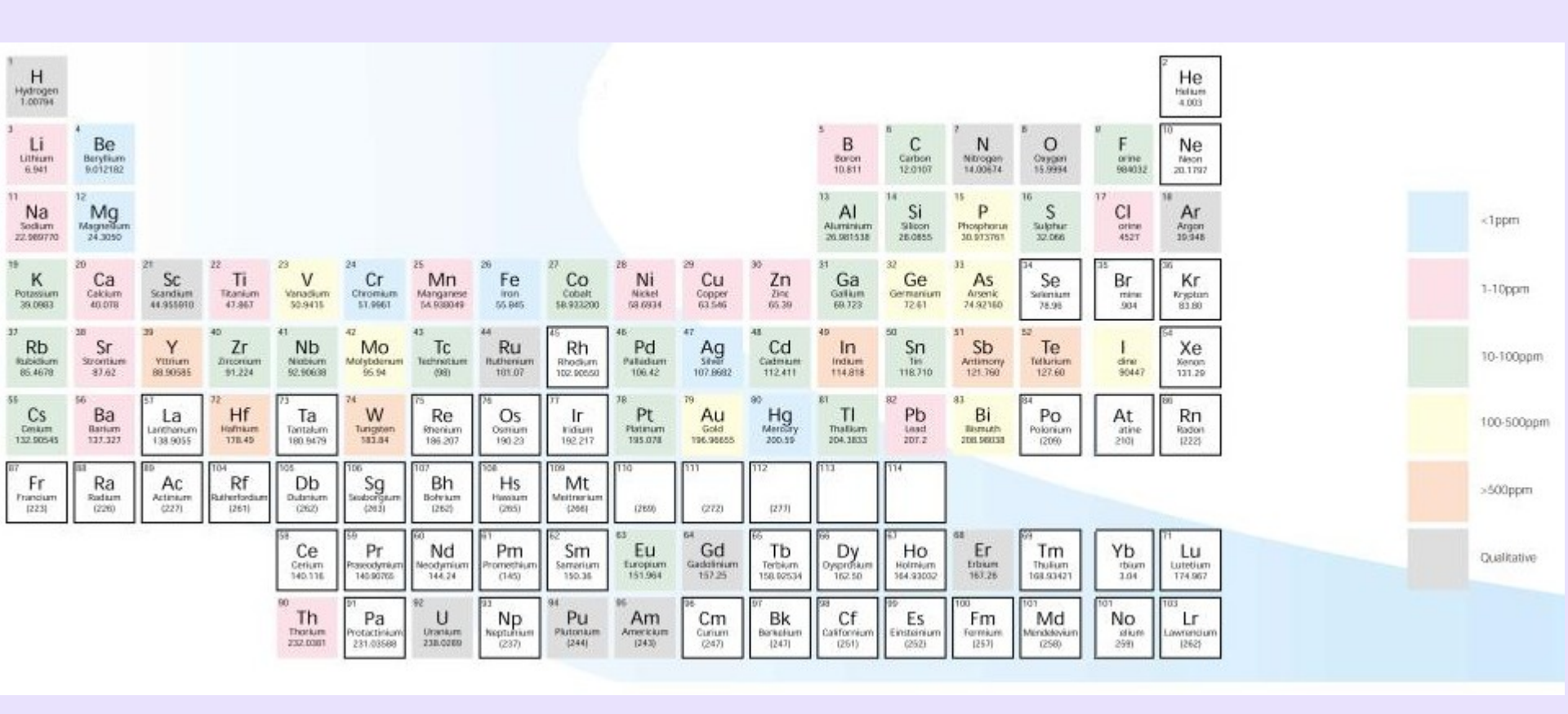
Tempo de retardo: 2μs Tempo de aquisição: 500ns







LIMITE DE DETECÇÃO





FIM

MUITO OBRIGADO POR SUA ATENÇÃO!





